

## ПОЛУЧЕНИЕ И СВОЙСТВА ПЛЕНОК НИЗКОТЕМПЕРАТУРНОГО ТЕТРАЭДРИЧЕСКОГО АМОРФНОГО УГЛЕРОДА

© О.И.Коньков, Е.И.Теруков, И.Н.Трапезникова

Физико-технический институт Российской академии наук,

194021 Санкт-Петербург, Россия

(Получена 18 октября 1995 г. Принята к печати 26 октября 1995 г.)

Пленки высоко-тетраэдрического аморфного углерода были получены разложением смеси метана в аргоне/водороде в плазме тлеющего разряда при температурах около 300 К. Исследовались структурные и оптические свойства. В результате были получены оптически прозрачные пленки аморфного углерода с показателем преломления  $1.5 \div 2.2$  и плотностью  $2.75 \div 2.80 \text{ г}/\text{см}^3$ . Концентрация оптически активных водородных атомов находилась в диапазоне  $21 \div 28 \text{ ат}\%$ . Отношение  $sp^3$ - и  $sp^2$ -связей лежало в диапазоне  $0.80 \div 0.85$ . Ширина оптической запрещенной зоны составляла  $3.0 \div 3.6 \text{ эВ}$ , электронная подвижность  $< 2 \text{ см}^2/\text{В}\cdot\text{с}$ , удельное сопротивление  $0.01 \div 10^{16} \text{ Ом}\cdot\text{см}$ . В спектрах фотолюминесценции обнаружена широкая полоса с максимумом на длинах волн  $487 \div 493 \text{ нм}$  и полушириной  $60 \div 80 \text{ нм}$ .

Аморфные гидрированные материалы на основе углерода занимают широкий спектр в поле аморфных полупроводников. Это обусловлено различным типом связывания атомов углерода в аморфной сетке и различным соотношением  $sp^3$ - и  $sp^2$ -координированных углеродных атомов ( $sp^3/sp^2$ ). Материал, обладающий высокой твердостью, высокой плотностью, оптически прозрачный и с высокой концентрацией  $sp^3$ -связей принято называть алмазоподобным. Как правило, подобные пленки получаются ионно-лучевыми методами с использованием твердых источников углерода [1]. Ряд авторов относят углеродные материалы с высокой долей  $sp^3$ -связей, высокой плотностью, но с меньшей, чем у алмазоподобного углерода, твердостью к группе высокотетраэдрического аморфного углерода (*ht-a-C*) [2]. Такой материал является аналогом тетраэдрических аморфных кремния и германия и находит широкое применение в качестве покрытий и слоев микроэлектронных устройств.

В случае плазменного осаждения, наиболее распространенного способа получения аморфных полупроводников, формируется материал с меньшим количеством  $sp^3$ -связей и с меньшей твердостью [3], что не позволяет его отнести к группе *ht-a-C*.

В настоящей работе представлены результаты по получению в условиях низкотемпературной плазмы и исследованию свойств тетраэдрического гидрированного аморфного углерода.

Пленки получены разложением смеси 12 % метана с аргоном/водородом в плазме высокочастотного (ВЧ) тлеющего разряда. Для уменьшения загрязненности растущей пленки, увеличения степени ионизации молекул рабочего газа и усиления степени возбуждения получающихся радикалов и ионов, что необходимо для формирования структуры растущей пленки с большой долей  $sp^3$ -связей и высокой плотностью, нами использовались повышенная рабочая частота ВЧ генератора — 40 МГц и специальная модификация реактора, которая может быть названа «системой с квазизамкнутым рабочим объемом». В такой системе область горения разряда механически ограничивается потенциальным и заземленным электродами и цилиндром из диэлектрического материала (мы использовали оптическое кварцевое стекло), находящимся между ними. При этом прокачка рабочего газа осуществляется только через специальные системы отверстий в обоих электродах. Весь комплект из электродов и цилиндра помещается под колпак вакуумной установки, обеспечивающий во время процесса давление на уровне  $5 \cdot 10^{-3}$  мм рт.ст. Давление внутри реактора соответствует минимуму кривой Пашена и находится на уровне  $5 \cdot 10^{-2}$  мм рт.ст. В качестве подложек использовался оптический кварц, монокристаллический кремний марки КДБ-20. Толщина пленок была  $0.2 \div 0.5$  мкм.

Структурные свойства материала (тип связывания атомов углерода и водорода), количество связанного водорода оценивались с помощью инфракрасной (ИК) спектроскопии. Определялось оптическое пропускание пленок в области  $200 \div 1200$  нм, исследовалась фотoluminesценция, измерялся показатель преломления эллипсометрическим методом. Плотность пленок оценивалась взвешиванием. Значения параметров, приближающиеся к соответствующим значениям для алмазоподобного углерода, относятся к пленкам, полученным при разбавлении метана водородом.

В результате экспериментов были получены оптически прозрачные пленки гидрированного аморфного углерода с показателем преломления в интервале  $1.5 \div 2.2$ . Плотность пленок находилась в пределах  $2.75 \div 2.80$  г/см<sup>3</sup>, что соответствовало значениям плотности алмазоподобных углеродных пленок [2].

В спектрах ИК пропускания образцов обнаруживалась широкая полоса поглощения в области  $2800 \div 3000$  см<sup>-1</sup>, соответствующая модам растяжения СН<sub>n</sub>-связей. Согласно предложенной в [4] методике, полоса разлагалась на ряд составляющих полос с максимумами 2870 см<sup>-1</sup> ( $sp^3$  — СН<sub>3</sub>), 2925 см<sup>-1</sup> ( $sp^3$  — СН<sub>2</sub>), 2960 см<sup>-1</sup> ( $sp^3$  — СН<sub>3</sub>), 3050 см<sup>-1</sup> ( $sp^2$  — СН) и анализировалась относительная гибридизация углеродных атомов как отношение  $sp^3/sp^2$ . Так, после разложения было получено отношение  $sp^3/sp^2$  порядка  $0.90 \div 0.85$ , координационное число углерода 3.78, количество оптически активного водорода  $21 \div 28$  ат%

(рис. 1).

Поскольку мы пользовались методиками, позволяющими учитывать только оптически связанный водород и оптически активные комплексы (С—Н<sub>n</sub>), то можно допустить, что часть несвязанных атомов

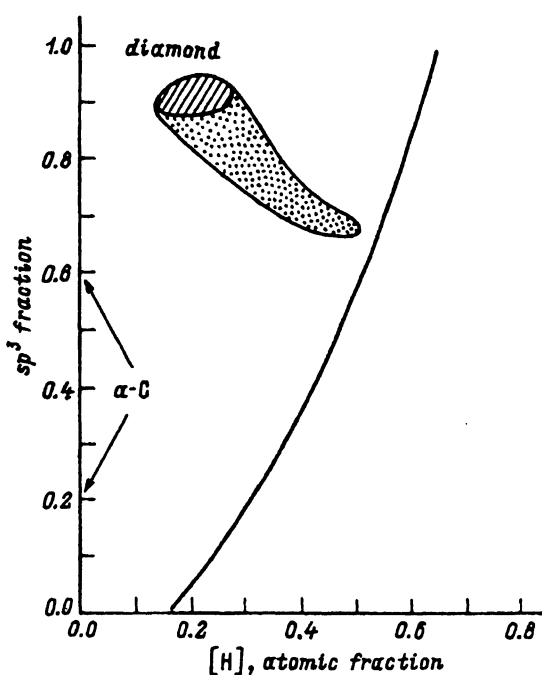


Рис. 1. Зависимость доли  $sp^3$ -гибридизированных атомов углерода от содержания водорода (диаграмма Ангуса): область результатов для пленок  $a\text{-C:H}$  (точки),  $ht\text{-}a\text{-C}$  (штриховка), полученных в данной работе.

углерода (как правило межузельного типа) может изменить соотношение  $sp^3$ - и  $sp^2$ -связей. Во избежание неточностей при характеризации материала мы учитывали также форму оже-спектра углерода, которая, как известно, различается в случаях преобладания  $sp^3$ - или  $sp^2$ -фазы (алмаз или графит) [5].

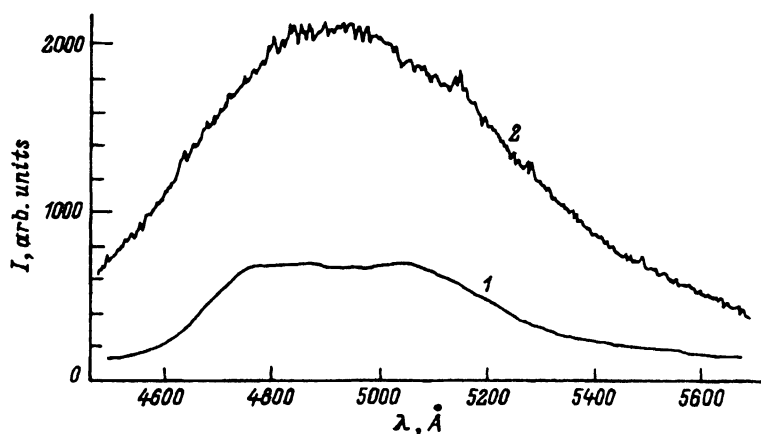


Рис. 2. Характерные спектры фотолюминесценции пленок  $ht\text{-}a\text{-C}$ , выращенных при разбавлении метана водородом (1) и аргоном (2). Возбуждение излучением He-Cd-лазера (длина волны 4416 Å).

Для характеризованных подобным образом материалов снимался край оптического пропускания. При этом наблюдалась обычная для углерода форма края оптического поглощения, свидетельствующая о наличии широких хвостов плотности состояний [6]. Оптическая ширина запрещенной зоны  $E_g^{\text{opt}}$ , определенная экстраполяцией зависимости коэффициента поглощения света  $\alpha$  от энергии фотонов в виде  $\alpha(\hbar\omega)^{1/2} - (\hbar\omega - E_g^{\text{opt}})$  к  $\alpha = 0$ , составляла  $3.0 \div 3.6$  эВ.

В спектрах фотолюминесценции (ФЛ) пленок наблюдалась широкая бесструктурная полоса с максимумом на длинах волн  $\lambda = 487 \div 492$  нм и шириной  $60 \div 80$  нм (рис. 2). При этом интенсивность ФЛ ( $I$ ) пленок, выращенных в присутствии аргона, значительно выше, чем пленок, полученных при добавлении водорода, что согласуется с результатами работы [6] и находится в рамках предлагаемой там модели структурного строения аморфного углерода. Так, понятно, что в случае присутствия при росте пленки аргона материал содержит большее количество светоизлучающих наногранул графитовой фазы, которые обеспечивают большую интенсивность ФЛ. Исследования ФЛ в широком диапазоне температур,  $4.2 \div 300$  К, показали, что форма спектра, полуширина и положение максимума в  $a\text{-C:H}$  не изменяются, наблюдается перекрытие высокоэнергетического спектра ФЛ с урбаховским краем поглощения [7].

Характеристики полученных пленок были исследованы нами ранее [8]: проводимость менее  $10^{-12} \text{ Ом}^{-1} \cdot \text{см}^{-1}$  при  $300$  К, энергия активации проводимости  $1.6 \div 2$  эВ, электронная дрейфовая подвижность порядка  $2 \text{ см}^2/\text{В} \cdot \text{с}$ . Представление полученных нами результатов на диаграмме, предложенной Ангусом для характеристики углеродных материалов [9] (рис. 1), позволяет сделать заключение о том, что плазменным методом разложения метана при комнатной температуре возможно получение пленок *ht-a-C*.

Работа выполнена при частичной поддержке Аризонского университета и Российского Фонда фундаментальных исследований (грант № 96-02-16851-а).

### Список литературы

- [1] D.R. Mc Kenzie. Phys. Rev. Lett., **67**, 773 (1991).
- [2] D.R. Mc Kenzie, D. Muller, B.A. Pailthorpe, Z.H. Wang, E. Kravtchinskaia, D. Segal. Diam. Rel. Mater., **1**, 51 (1991).
- [3] M.A. Tamor. Appl. Phys. Lett., **58**, 592 (1991).
- [4] B. Dischler, A. Bubenzer, P. Koidl. Sol. St. Commun., **48**, 105 (1983).
- [5] С.Н. Михайлов, И.Н. Трапезникова, Е.И. Теруков. В сб.: *Тезисы Всесоюзного семинара по аморфным полупроводникам и их применению* (Л., 1991) с. 72.
- [6] S.V. Chernyshov, E.I. Terukov, V.A. Vassilyev, A.S. Volkov. J. Non-Cryst. Sol., **134**, 218 (1991).
- [7] А.А. Бабаев, М.Ш. Абдулваагабов, И.Н. Трапезникова, Е.И. Теруков. Неорг. матер., **27**, 2205 (1991).
- [8] О.И. Коньков, И.Н. Трапезникова, Е.И. Теруков. ФТП, **28**, 1406 (1994).
- [9] J.C. Angus. Diam. Rel. Mater., **1**, 61 (1991).

Редактор Л.В. Шаронова

# Producing and properties of low-temperature tetrahedral carbon films

O.I. Kon'kov, I.N. Trapeznikova, E.I. Terukov

Physicotechnical Institute, Russian Academy of Sciences, 194021 St.Petersburg, Russia

The films of high-tetrahedral amorphous carbon were produced by decomposition of methane in Ar/H<sub>2</sub> glow discharge plasma at the temperatures about 300 K. Structural and optical properties of deposited films were investigated.

As a result optical transparent amorphous carbon films with refractive index 1.5 ÷ 2.2 and density 2.75 ÷ 2.80 g/cm<sup>3</sup> were obtained. The concentration of optically active hydrogen atoms was about 21 ÷ 28 at.%. The  $sp^3/sp^2$  ratio laid in the range 0.80 ÷ 0.85. The optical bandgap was 3.0 ÷ 3.6 eV, electron mobility  $\sim 2 \text{ cm}^2/\text{V} \cdot \text{s}$ , conductivity  $10^{-12} \Omega^{-1} \cdot \text{cm}^{-1}$ . Photoluminescence spectra had a wide intensive band with maximum at 487 ÷ 493 nm and width of 60 ÷ 80 nm.

---